

九州大学 工学部 正会員 鷹木 武  
○学生員 古賀 徹志

## 1. まえがき

トンネル工事において、不透水層を突破して帶水層に入り直後に初期集中湧水を生じるが、この初期集中湧水により地山の自立が損なわれたり、切端設備の水没等トンネル作業上に対する悪影響を引き起す事がある。したがってトンネル工事に先立つて初期集中湧水を予測し、また初期集中湧水から恒常湧水状態に至る過程を十分知る必要がある事は言うまでもない。本研究は先に著者等が提案した非定常湧水の環元有限要素法による解析理論を利用して非定常湧水を解析し、その特性、とりわけ初期集中湧水量と、湧水平衡時間について考察するものである。

## 2. 解析概要

解析モデルとして、大陸トンネルにおいて測定された開隙率  $\alpha = 0.18$  の地山を想定し、又複線鉄道トンネルにおいて見受けられた直径10mの円形断面トンネルを考えた。また時間間隔を表すものとして  $\Delta t = 0.01$  (以下で長さの次元を持つ) を考え、地山の透水性の遅延が演算効率の上に反映する事を防ぐものである。初期集中湧水から恒常湧水状態に至るまでの過程は、初期集中湧水が終るとそれ以後数回程度の適当な時間段階まで非定常湧水状態を算出し、これらと恒常湧水の演算結果を用いて曲線回帰して、その関係は次式を仮定して用いる。

$$\frac{Q_T}{Q_i} = \beta_T = (1 - \beta_{\infty}) e^{-\alpha T} + \beta_{\infty} \quad Q_T: 時刻 T における湧水量 \quad \beta_{\infty}: 恒常湧水量 Q_{\infty} と初期集中湧水量 Q_i の比$$

$$Q_i: 初期集中湧水量 \quad \alpha: 定数$$

## A. 不透水層がトンネル底に一致する場合

基本湧水状態として、不透水層とトンネル底が一致する場合を採用し、この場合の初期集中湧水量と、平均動水勾配との関係を求めれば以下の通りである。因より明らかなように  $H_0/L_0$  が小さい程初期集中湧水量と恒常湧水量との差が大きくなるが、 $H_0/L_0$  が 1.35 以上では、両者の差は 10% 以内に在る。 $T_f$  は  $H_0/L_0$  をハーメーターに取った減衰の時間的経過を追跡したものが  $H_0/L_0$  が小さい程減衰の割合が大きい事が理解できるであろう。また湧水の減衰が 90% 完了した時刻をもって湧水平衡時間とすると、 $T_f \approx 3$  分であるよう  $H_0/L_0$  が大きくなる程  $T_f$  は大きくなつた。これは  $H_0/L_0$  が大きくなる程水頭補給が大きくなるに因る。

## B. 不透水層がトンネル底に一致しない場合

不透水層がトンネル底と一致しない場合については、種々のトンネル底

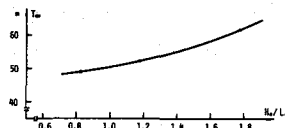
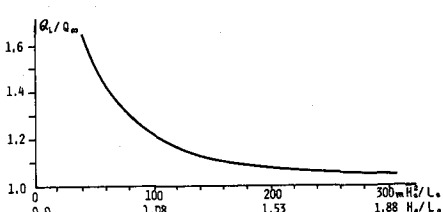
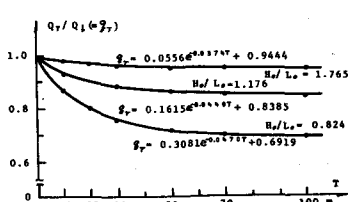


Fig.3 Relation between the balanced Time of Discharge and Hydraulic Gradient.

Fig.1 Relation between  $Q_i/Q_{\infty}$  and  $H_0/L_0$ .Fig.2 Variation of the Flowrate Ratio  $Q_T/Q_i$ .

不透水層間の距離をもつて解析し、湧水量特性を求めれば Fig.4～Fig.7 のとおりである。Fig.4より明らかのように、初期集中湧水量は不透水層を経下せることともに増大する凸型の增加曲線となり  $H_e/H_o \rightarrow 0$  で一定値に収束する。この性状は恒常湧水量の場合と似ているものの、より小さな変化にとどまっている。また初期集中湧水量と恒常湧水量との關係は Fig.5 で与えられ  $H_e/H_o$  の変化にしたがって緩やかに減少する凹型曲線となり  $H_e/H_o$  の値が 2.0 以上ではなく 1.25 に著しく性質を有する。したがって  $H_e/H_o$  が 2.0 以上では初期集中湧水量は恒常湧水量を 25 倍する事によつて推定する事ができる。Fig.6 は  $\Delta H_e$  の各ケースに対して初期集中湧水から定常湧水状態に至るまでの減衰過程を示したものである。湧水平衡時間  $\tau_e$  が  $\Delta H_e = 0$  の場合に対して  $\Delta H_e \neq 0$  の場合はいくつ小さくなるが、その差異は差程大でないものではない。(Fig.7)

### C. 西交界河山の非定常湧水

透水係数  $K_y/K_x$  を変化した時の初期集中湧水量と恒常湧水量の比を求めれば Fig.8 の通りになる。 $Q_e^b/Q_e$  の値は  $K_y/K_x$  の増大とともに増大し、 $K_y/K_x = 0 \sim 0.5$  の範囲では凸型の増加曲線となり、全体的に U 字型の  $Q_e^b/Q_e - K_y/K_x$  關係曲線が得られる。また  $K_y/K_x = 1$  の初期集中湧水量  $Q_e^b$  に対する各  $K_y/K_x$  の他の場合の湧水量  $Q_e^b$  との比  $Q_e^b/Q_e$  と  $K_y/K_x$  の關係を示すと Fig.9 のとおりである。初期集中湧水量は  $K_y/K_x$  が小くなるほど減少し  $K_y/K_x = 0.45$  リットル/秒範囲では減少率が大きくなる。 $K_y/K_x = 0.4 \sim 1.0$  の範囲でも湧水量の減少率は定常湧水の場合よりも大きくなる事がわかる。また、各  $K_y/K_x$  の値において湧水量の減衰状況を振り返ると Fig.10 に示す通りで、 $K_y/K_x$  の値が小くなるにつれて湧水量の減衰率が小さくなるに、減衰が徐々に進行する事がわかる。特に  $K_y/K_x$  が 0.3 近傍であるのはそれ以下の値になると湧水量の減衰が遅くなるまで減衰率が極めて小さくなる為、湧水平衡時間が極めて大きくなる事がわかる。(Fig.7)

### 参考文献

（1）土木学会第33回年次学術講演会講演概要集第3部  
（2）木武・楊穎得：トンネル非定常湧水解析

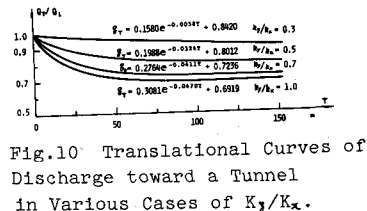


Fig.10 Translational Curves of Discharge toward a Tunnel in Various Cases of  $K_y/K_x$ .

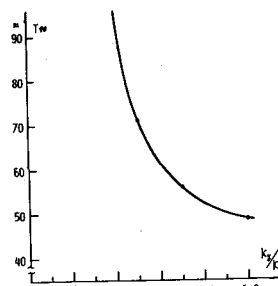


Fig.11 Balanced Time of Discharge Versus  $K_y/K_x$  Curve.

Fig.9  $Q_e^b/Q_e - K_y/K_x$  and  $Q_e^b/Q_\infty - K_y/K_x$  Curves.

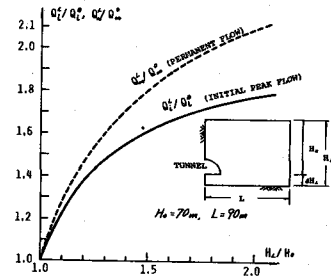


Fig.4 Relation between  $Q_e^b/Q_e$ ,  $Q_e^b/Q_\infty$  and  $H_e/H_o$ .

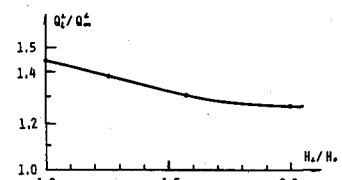


Fig.5  $Q_e^b/Q_e - H_e/H_o$  Curve.

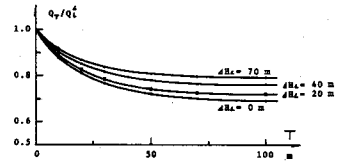


Fig.6 Transitional Curves of Discharge through a Tunnel in Various Case of  $H_e$ .

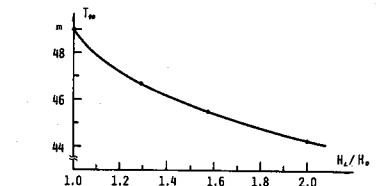


Fig.7 Relation between the balanced Time of Flow and  $H_e/H_o$ .

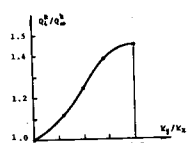


Fig.8  $Q_e^b/Q_\infty - K_y/K_x$  Curve.